

LUT型FPGAを対象とした消費電力および遅延の見積もり手法について

中村 隆二[†] 松永 裕介^{††}

† 九州大学大学院システム情報科学府

〒 819-0395 福岡県福岡市西区元岡 744

†† 九州大学大学院システム情報科学研究院

〒 819-0395 福岡県福岡市西区元岡 744

E-mail: †{n-ryuji,matsunaga}@c.csce.kyushu-u.ac.jp

あらまし FPGA の消費電力削減と性能向上を実現させるためには、アーキテクチャと回路合成技術の面から考えなければならない。本研究では、消費電力および遅延の削減を目的関数とする配置配線アルゴリズムの提案を目指している。本稿では、そのための基礎技術として LUT 型 FPGA を対象とした消費電力および遅延の見積もり手法の提案を行い、精度の評価を行うために Nanosim による見積もり結果との比較を行った。

キーワード FPGA、EDA、見積もり、消費電力、遅延

On power and delay estimation method for LUT-based FPGAs

Ryuji NAKAMURA[†] and Yusuke MATSUNAGA^{††}

† Graduate School of Information Science and Electrical Engineering Kyushu University

744 Motoooka, Nishiku, Fukuoka, 819-0395, JAPAN

†† Faculty of Information Science and Electrical Engineering Kyushu University

744 Motoooka, Nishiku, Fukuoka, 819-0395, JAPAN

E-mail: †{n-ryuji,matsunaga}@c.csce.kyushu-u.ac.jp

Abstract It is necessary to consider the architecture and synthesis technology to achieve the power reduction and the performance improvement of FPGA. In this research, it proposes the placement and routing algorithm for power and delay reduction. In this paper, it proposes the power and delay estimation method for LUT-based FPGAs, and it compared with the estimate result by Nanosim to evaluate accuracy.

Key words FPGA、EDA、estimation、power、delay

1. はじめに

少量生産の LSI(Large Scale Integrated circuit)を低コストで実現するための手法の一つに、再構成可能デバイスを用いた設計がある。再構成可能デバイスは、複数の設計に対して同一のデバイスを用いることができ、チップの単価を安く抑えられる可能性がある。現在、広く用いられている再構成可能デバイスに LUT(LookUp Table)型 FPGA(Field Programmable Gate Array)がある。LUT 型 FPGA は、ASIC(Application-Specific Integrated Circuit)と比べて、再構成のために多くのトランジスタを使用しているので、消費電力と性能の面で劣っている欠点がある。消費電力の削減と性能の向上のためには、アーキテクチャと回路合成技術の面から考えなければならない。消費電力削減および遅延最小のための回路合成技術の一つに配置配線がある。

研究目的として開発された FPGA 向けの配置配線ツールに VPR(Versatile Place and Route)がある[1]。VPR は、論理ブロック間のトラック数が可変であるという仮定のもとで論理ブロック間の配線数最小を目的としている。しかし、FPGA のトラック数は、設計をする前にあらかじめ決められているため、この目的関数は不適切である。また、VPR は、消費電力の見積もりはしておらず、遅延に関しても簡単な見積もりしかしていない。そこで、本研究では、消費電力および遅延の削減を目的関数とする配置配線アルゴリズムの提案を目指している。本稿では、そのための基礎技術として消費電力および遅延の見積もり手法の提案を行う

消費電力および遅延を見積もるツールとして、主に Synopsys 社の SPICE や Nanosim がある。これらのツールは、配置配線情報、デバイス情報、アーキテクチャ情報、回路情報から作成されたネットリストを用いて消費電力と遅延を算出する。その

ため、配置配線情報やアーキテクチャ情報が変わるとたびにネットリストを変更しなければならないので、時間がかかる。そこで、本手法は、SPICE および Nanosim と同じ精度を目指し、かつ、処理時間を短縮することを目指す。本手法では、配置情報、デバイス情報、アーキテクチャ情報、回路情報を入力として与え、各入力から消費電力および遅延に必要なパラメータを求め、それらのパラメータを用いて消費電力と遅延を算出する。そのため、配置配線情報やアーキテクチャ情報が変わっても、変わった情報に依存するパラメータの値のみを変更することで見積りができる。本稿では、消費電力および遅延の見積り手法について述べ、基礎実験として、配置配線情報、デバイス情報、アーキテクチャ情報、回路情報を入力として与え、本手法による見積りと Nanosim による見積りを行ったので、その比較結果について述べる。

本稿は、以下の構成となっている。第 2 章で、今回対象とする LUT 型 FPGA アーキテクチャの構造について述べる。第 3 章で、見積り手法について述べ、第 4 章と第 5 章で消費電力および遅延の算出について述べる。第 6 章で、今回行った実験について述べ、最後に、第 7 章でまとめる。

2. LUT 型 FPGA アーキテクチャ

LUT 型 FPGAにおいて一般に用いられているアーキテクチャの 1 つに、Island Style アーキテクチャがある。Island Style アーキテクチャは、図 1 のように格子状に並べた論理ブロックと論理ブロック間の配線領域から成る[2]。図 1において、CLB(Cluster-based Logic Block) は論理ブロック、S はスイッチブロック、C はコネクションブロックを表している。CLB 間の配線領域は、チャネルと呼ばれ、チャネルの各々の配線をトラックという。論理ブロックは、入力数以下の任意の論理関数を実現するブロックである。スイッチブロックは、水平トラックと垂直トラックが交差する点に位置し、トラック同士を接続する役割を果たす。また、コネクションブロックは、スイッチブロック間に位置し、CLB の入出力ピンとトラックを接続する役割を果たす。次に、今回対象とする各々のブロックの構造について説明する。

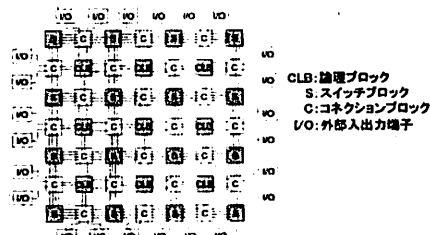


図 1 Island Style Architecture

2.1 CLB

CLB は、入力 I 以下の任意の論理関数を実現するブロックである。CLB の構造を図 2 に示す。CLB は、複数の BLE(Basic Logic Element)、BLE の入力数分のセレクター、セレクター

への制御信号を記憶するシフトレジスタから成る。CLB の入力 I と BLE からの出力 N がセレクターの入力信号であり、シフトレジスタからの制御信号によって各セレクターの出力が決まる。各セレクターの出力は、BLE の入力となる。CLB の入力

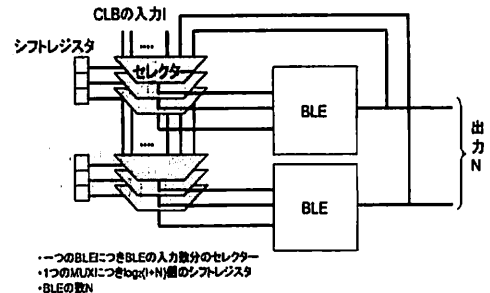


図 2 CLB

I とサイズ N 、BLE の入力数 k は、アーキテクチャのパラメータとして与える。ここで述べている CLB のサイズは、CLB 内の BLE 数である。

次に BLE の構造を図 3 に示す。BLE は、 k 入力の LUT、フリップフロップ、セレクター、セレクターへの制御信号を記憶するシフトレジスタから成る。次にセレクターの構造を図 4 に

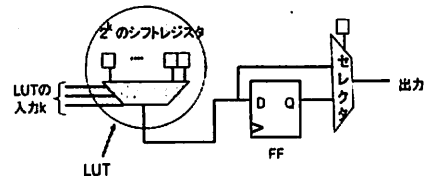


図 3 BLE

示す。セレクターは、インバータとバストランジスタから成つ

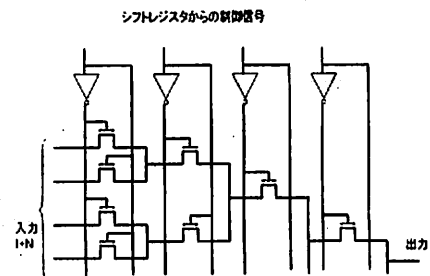


図 4 セレクター

ており、シフトレジスタからの制御信号によりバストランジスタのゲートを ON/OFF させ、出力を決定する。LUT は、セレクターにシフトレジスタが加わった構造をしている。セレクターと違い、入力信号がバストランジスタの ON/OFF を決める制御信号になり、シフトレジスタの値が出力となる。

2.2 スイッチブロック

スイッチブロックは、水平トラックと垂直トラックを接続する役割を果たす。スイッチブロックの構造を図5に示す。垂直トラックの総数Wに対して一つの水平トラックが接続できる割合 F_S は、アーキテクチャのパラメータとして与える。つまり、スイッチブロック内のスイッチ数は、 $F_S \times W$ である。スイッチの構造は、遅延および面積を考慮して様々な構造をとる。図5の場合、信号がどの経路を選んでもバストランジスタ2つとバッファ1つを通る。

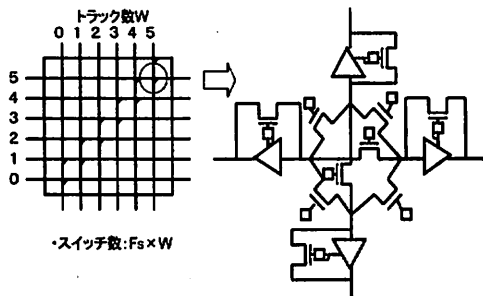


図5 スイッチブロックの構造

2.3 コネクションブロック

コネクションブロックは、入出力ピンとトラックを接続する役割を果たす。コネクションブロックの構造を図6に示す。コネクションブロックもスイッチブロックと同様に、入出力ピンからの配線が接続できるトラックの割合 F_C は、アーキテクチャのパラメータとして与える。入出力ピンからの配線とトラックを接続するスイッチは、遅延と面積を考慮して様々な構造が考えられる。図6の場合、各スイッチ部分は、バストランジスタ1つから成る。

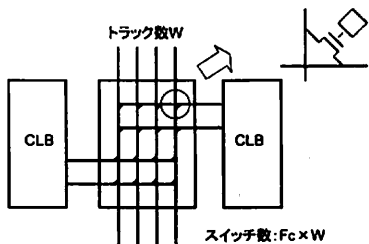


図6 CBLOCK

3. 見積もり手法

本見積もり手法では、デバイス情報、アーキテクチャ情報、回路情報、配置配線情報を入力とする。以下に各々の入力情報の詳細を示す。

デバイス情報

- トランジスタサイズ
- クロック周波数

電源電圧

配線抵抗、配線容量

アーキテクチャ情報

- クラスタサイズ
- クラスタの入力数
- チャネルのトラック数
- LUT サイズ
- 入出力ピンからの配線が接続できるトラックの割合
- 垂直トラックが接続できる水平トラックの割合

回路情報

- 信号遷移確率

配置配線情報

- 各クラスタの位置
- クラスタ間の配線の経路

これらの入力をもとに消費電力および遅延の算出フローを図7に示す。図7のように各入力に依存するパラメータを算出し、

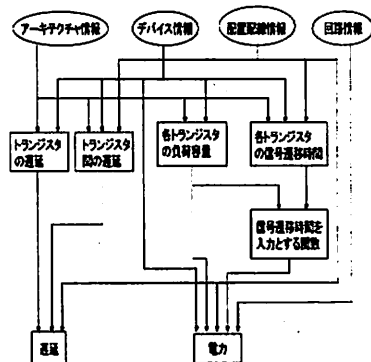


図7 見積もりフロー

そのパラメータを用いて消費電力と遅延を算出する。各トランジスタの負荷容量は、アーキテクチャ情報とトランジスタサイズが決まれば見積もることができる。各トランジスタの信号遷移時間は、アーキテクチャ情報、デバイス情報、配置配線情報から見積もることができ、信号遷移時間を入力とする関数は、負荷容量、信号遷移時間から見積もることができる。これらのパラメータから各トランジスタの消費電力を求め、合計値をとる。入力が変化したとき、その入力に依存するパラメータの値だけを変えて、見積もりを行うことができる。遅延は、トランジスタの遅延と配線の遅延に分けて算出する。トランジスタの遅延は、アーキテクチャの情報とデバイスの情報から見積もり、トランジスタ間の遅延は、さらに配置配線情報を用いて見積もある。パラメータを用いて消費電力と遅延を見積もることで、入力の値が変化したとき、その入力に依存するパラメータのみ変えることで見積もりを行うことができる。以下の章で、各トランジスタの消費電力および遅延の算出方法について述べる。

4. 消費電力の算出

FPGAで考慮しなければならない消費電力は、大きく分けて

ダイナミック電力とスタティック電力の2つである。ダイナミック電力は、信号遷移が起きるときに消費される電力で、スイッチング電力と貫通電流電力がある。スタティック電力は、信号遷移にかかわらず発生する電力で、リーク電力といわれる。以下で、ダイナミック電力とスタティック電力のそれぞれの算出方法について述べる。

4.1 ダイナミック電力

ダイナミック電力は、信号遷移が起きるときに負荷容量の充放電によって消費される。つまり、ダイナミック電力は、配線の経路上にあるインバータとLUT内のインバータ、シフトレジスタでのみ発生する。

4.1.1 インバータのダイナミック電力

インバータのスイッチング電力 P_{sw} は、

$$P_{sw} = 0.5fV_{dd}^2 \sum_{i=1}^n C_i E_i \quad (1)$$

で表される。ここで、 n は、経路上にあるインバータの総数を表し、 f は、クロック周波数を表す。また、 V_{dd} は、電源電圧、 C_i は、インバータ i の負荷容量、 E_i は、インバータ i の信号遷移確率を表す。また、貫通電流電力 P_{sc} は、

$$P_{sc} = 0.5fV_{dd}^2 \sum_{i=1}^n \alpha(t_{ri}) C_i E_i \quad (2)$$

で表される。ここで、 t_{ri} は、インバータ i の信号遷移時間、 $\alpha(t_{ri})$ は、信号遷移時間を入力とする関数を表す。つまり、インバータのダイナミック電力 P_D は、

$$P_D = 0.5fV_{dd}^2 \sum_{i=1}^n (1 + \alpha(t_{ri})) C_i E_i \quad (3)$$

で表される[3]。ここで、負荷容量、信号遷移時間、信号遷移時間に入力とする関数は、以下の方法で算出する。

負荷容量 C_i は、アーキテクチャの情報とデバイスの情報からわかる。これらの情報をもとに簡単なRC回路のネットリストを作成し、回路シミュレータを用いて抽出する。インバータ i がインバータ1つを駆動させると仮定する。このとき、図8の回路を作成し、Bの電位 $V_{out}(t)$ は、

$$V_{out}(t) = V_{pulse}(1 - e^{-t/RC_i}) \quad (4)$$

となる。ここで、 V_{pulse} は、入力の最大電圧である。

Bの電圧が最終電圧の10%から90%まで上がる時間を t_B とすると、(4)式から

$$t_B = t_{90\%} - t_{10\%} = 2.2RC_i \quad (5)$$

となる。ここで、 t_B に回路シミュレータで求めた値を代入し、負荷容量 C_i を求める。

信号遷移時間 t_{ri} は、アーキテクチャの情報とデバイスの情報に加え、配置配線の情報からいくつのブロックを通ってきたかによって決まる。あらかじめ回路シミュレータを用いて通ったブロック数に対応する信号遷移時間を求める。信号遷移時間に入力とする関数 $\alpha(t_{ri})$ も回路シミュレータで求めた値を用

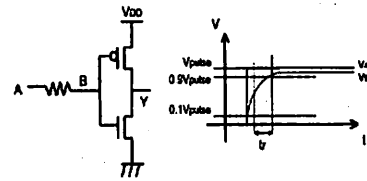


図8 RC回路

いる。信号遷移時間 t_{ri} のときのダイナミック電力 $P_{D,i}$ を回路シミュレータで求める。ダイナミック電力 $P_{D,i}$ を用いると信号遷移時間を入力とする関数 $\alpha(t_{ri})$ は、

$$\alpha(t_{ri}) = 1 - \frac{P_{D,i}}{C_i V_{dd}^2 / 2} \quad (6)$$

で求めることができる。

4.1.2 LUTのダイナミック電力

LUTのダイナミック電力は、入力の変化によるLUT内のインバータのダイナミック電力と出力の変化によるLUT内のバストランジスタおよび出力側にあるインバータの負荷容量の充放電によって決まる。つまり、LUTの場合、LUTの入力パターンのペアと、出力値の変化の有無によってダイナミック電力が決まる。そのため、LUTのダイナミック電力は、LUTの入力値の発生確率がすべて等しいと仮定し、すべての入力パターンのペアを用いて、回路シミュレータで測定する。その平均のダイナミック電力をLUTのダイナミック電力とする。

4.2 スタティック電力

スタティック電力は、信号遷移にかかわらず発生する電力である。スタティック電力には、ドレインとソースの電位差によって発生するサブレショルドリーク、ゲートと基板の電位差によって発生するゲートリークなどがある。トランジスタ i で発生するスタティック電力 $P_{leak,i}$ は、

$$P_{leak,i} = V_{dd} I_{leak,i} \quad (7)$$

で表される。 $I_{leak,i}$ は、トランジスタ i における漏れ電流である。

4.2.1 インバータのスタティック電力

図9のようにインバータのスタティック電力は、入力信号が High のときと Low のときで異なる。入力信号が High のときは PMOS でスタティック電力が発生し、入力信号が Low のときは NMOS でスタティック電力が発生する。回路シミュレータを用いて、この2つの場合のスタティック電力を測定し、その平均をインバータのスタティック電力とする。

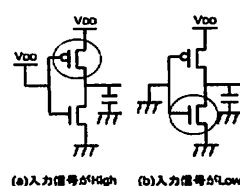


図9 インバータのスタティック電力

4.2.2 シフトレジスタのリーク電力

シフトレジスタの構造を図 10 に示す。シフトレジスタは、回路の動作中にデータの変更がないため、スタティック電力のみを考えればよい。シフトレジスタのスタティック電力は、インバータと同様に OFF になっているトランジスタで発生する電力を回路シミュレータで測定する。すべてのシフトレジスタのスタティック電力が同じであるとする。

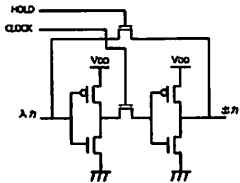


図 10 シフトレジスタのリーク電力

5. 遅延の算出

算出する遅延は、フリップフロップの出力ピンからフリップフロップの入力ピンまでの遅延の最大値である。インバータ、LUT、フリップフロップの入出力ピンをノードとし、接続関係のあるノード同士を辺で対応づける。各辺には、遅延値を重みとして持たせ、すべてのノードから成るグラフを考える。入力をもたないノードを始点ノード、出力をもたないノードを終点ノードとする。図 11 のように、始点ノードから辺をたどり、到達したノードで、そのノードにたどり着くまでのバスの重みの最大値をそのノードの重みとして保持する。終点ノードに到達するまで、この作業を繰り返し、各終点ノードが保持している値の最大値を遅延とする。

辺の重みには、インバータの遅延、LUT の遅延、配線およ

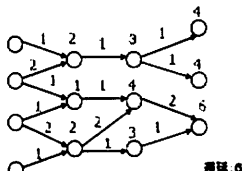


図 11 グラフ

びバストランジスタの遅延がある。インバータの遅延は、アーキテクチャの情報とデバイスの情報から各インバータのネットリストを作成し、立ち上がり信号と立ち下り信号を入力として、回路シミュレータで測定する。LUT の遅延もインバータと同様にアーキテクチャの情報とデバイスの情報からネットリストを作成し、回路シミュレータで測定する。このとき、すべての入力パターンと出力パターンの組み合わせで測定し、その中の最大値を LUT の遅延とする。配線およびバストランジスタの遅延の算出には、エルモア遅延モデルを用いる [4]。単位長さあたりの配線およびバストランジスタを図 12 のように等価回路に置き換え、抵抗と負荷容量から遅延を算出する。配線と

バストランジスタから成る辺 k の遅延 D_k は、

$$D_k = \sum_{j=1}^m R_j C(\text{subtree}_j) \quad (8)$$

で表される。ここで、 m は、ノード間の単位長さあたりの配線とバストランジスタの総数を表し、 $C(\text{subtree}_j)$ は、 j からノードまでの負荷容量を表す。

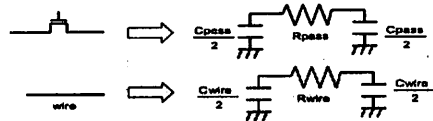


図 12 等価回路

6. 実験

本手法による見積もりの精度を確認するための基礎実験として、回路を決めて配線配線を行い、実際に本手法と回路シミュレータで見積もりを行い、結果を比較した。本実験では、CLB 数が 4 つの FPGA のネットリストを作成し、2 ビットの乗算器を組み合わせ回路で実現させた。本実験で使用したプロセスデータは、ROHM の $0.35\mu\text{m}$ であり、回路シミュレータとして Cadence 社の Nanosim を使用した。以下に実験で使用したパラメータを示す。本手法を用いた見積もり結果と Nanosim

表 1 実験で使用したパラメータ

CLB サイズ N	2
CLB の入力数 I	6
LUT サイズ k	4
トラック数 W	4
F_S	1/4
F_C	1
V_{dd}	3.3

を用いた測定結果の比較を以下の表に示す。遅延に関しては、

表 2 実験結果

	遅延	消費電力
本手法	10.764ns	28.881uW
Nanosim	10.613ns	32.309uW
誤差	1.4%	11.8%

ほとんど誤差がなく、本手法の精度が高いことがわかる。しかし、消費電力の見積もり結果の誤差は、10%以上あり、精度が高いとはいえない。これは、過渡的な信号遷移による消費電力を考慮していないことが原因であると考えられる。過渡的な信号遷移とは、LUT で発生する。理想的には、2 以上の入力が同じタイミングで信号遷移する場合、実際は、どちらかの信号遷移が遅れることがある。そのとき、出力が変わらない入力パターンに対してその信号遷移の遅れによって出力が変化することがある。

本手法は、設計をするための見積もり手法である。そのため、

配置配線結果や回路によって消費電力および遅延の結果がばらつくかどうかを確認する必要がある。また、今回の実験では、見積もり手法と Nanosim の実行時間の比較をしていない。見積もり手法で、入力に依存するパラメータをあらかじめ表引きにして保持しておくと仮定すると、見積もり手法は、計算式にパラメータをあてはめるだけなので、Nanosim に比べて見積もり手法のほうが少なくとも数倍は早くなると予測される。

7. おわりに

本発表では、消費電力および遅延を見積る手法について述べ、本手法の精度を確認するための基礎実験について述べた。実験では、1つの回路で1パターンの配置配線結果のみの見積もりしか行っていない。今後は、いくつかの回路で数パターンの配置配線結果を用いて実験を行い、回路や配置配線結果によって値がばらつくかどうかを確認する。また、見積もり手法と Nanosim との実行時間の比較を行う。

謝 詞

本研究は、一部科学研究費補助金(学術創生研究費(2))(課題番号 14GS0218)による。また、本研究は東京大学大規模集成システム設計教育研究センターを通じ、シノプシス株式会社の協力で行われたものである。

文 献

- [1] V.Betz, J.Rose, "VPR: A New Packing, Placement and Routing Tool for FPGA Research", International Workshop on Field Programmable Logic and Applications, 1997.
- [2] G.Lemieux, D.Lewis, "Design of Interconnection Networks for Programmable Logic", Kluwer Academic Publishers, 2003.
- [3] F.Li, Y.Lin, L.He, D.Chen, J.Cong, "Power Modeling and Characteristics of Field Programmable Gate Arrays", IEEE Transactions on Computer-aided Design of Integrated Circuits and Systems, vol.24, no.11, Nov.2005.
- [4] V.Betz, J.Rose, A.Marquardt, "Architecture and CAD for Deep-Submicron FPGAs", Kluwer Academic Publishers, 1999.